



# 第六章 调幅与检波

## 6.1 调幅原理

## 6.2 调幅电路

## 6.3 调幅波的解调-检波

## 6.3 调幅波的解调-检波



中国科学技术大学  
University of Science and Technology of China

调幅的逆过程。从频谱变换的角度，检波过程就是把已调波的频谱从高频区平行搬到低频区区域的过程，必须借助非线性电路才能实现。

### 1、包络检波： 均值包络检波、峰值包络检波

**适用对象：**普通调幅波

**特点：**电路简单，成本低，广泛用于民用调幅接收机

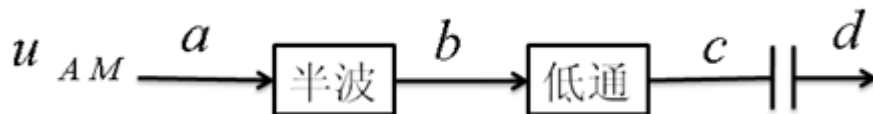
### 2、同步检波 **适用对象：**普通调幅，DSB, SSB

**特点：**电路复杂，需要载波恢复电路

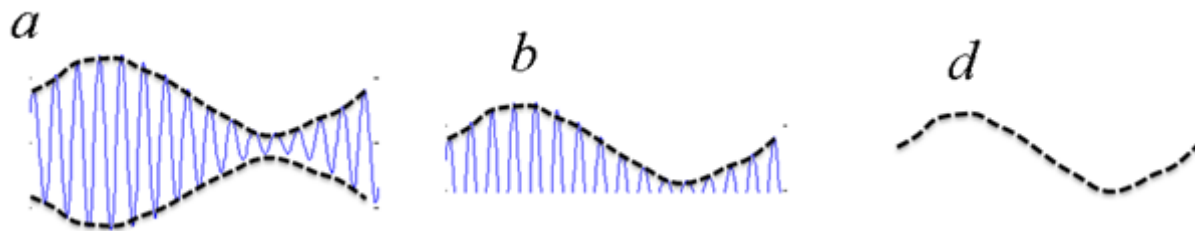
## 6.3 调幅波的解调-检波



### 6.3.1 均值包络检波



#### 1. 工作原理



$$u_{AM} = U_c [1 + ms(t)] \cos \omega_c t = b(t) \cos \omega_c t$$

$$u_b = U_a K^+(\omega_c t) = b(t) \cos \omega_c t \left[ \frac{1}{2} + \frac{2}{\pi} \cos \omega_c t - \frac{2}{3\pi} \cos 3\omega_c t + \dots \right]$$

低频部分由  $b(t) \cos \omega_c t \cdot \frac{2}{\pi} \cos \omega_c t$  产生

$$b(t) \cos \omega_c t \cdot \frac{2}{\pi} \cos \omega_c t = \frac{b(t)}{\pi} (1 + \cos 2\omega_c t) \text{ 中的 } \frac{b(t)}{\pi} \text{ 部分。}$$

$$\therefore u_c = \frac{b(t)}{\pi} = \frac{U_c [1 + ms(t)]}{\pi}$$

$$u_d = \frac{U_c ms(t)}{\pi}$$

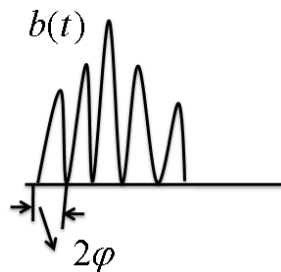
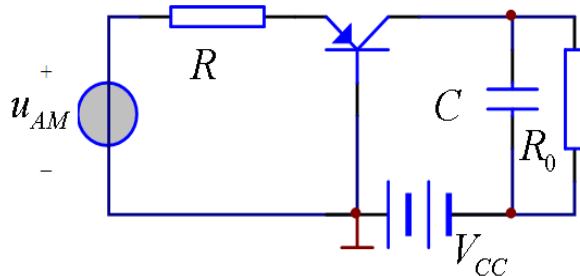
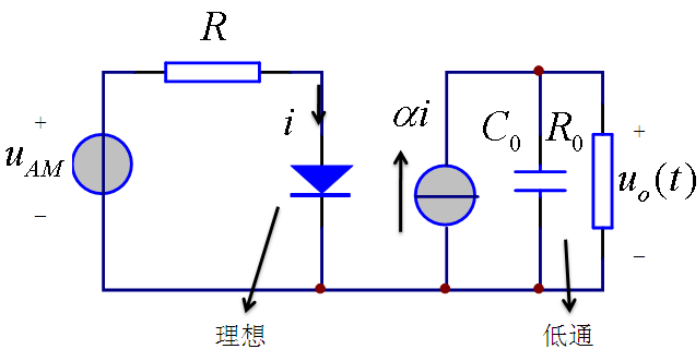
# 6.3 调幅波的解调-检波



## 2. 具体电路

检波二极管都用锗管近似理想特性。

$$\alpha_0(\varphi) = \frac{\sin \varphi - \varphi \cos \varphi}{\pi(1 - \cos \varphi)}$$



$$U_T = 0.15 \sim 0.22V \quad \varphi < 90^\circ$$

$$\begin{cases} U_T = 0 \\ \varphi = 90^\circ \end{cases} \quad \text{低频部分: } \frac{Gb(t)}{\pi} \quad \varphi = \cos^{-1} \frac{U_T - 0}{b(t)} \quad I_{EP} = Gb(t)(1 - \cos \varphi)$$

$$i = \frac{b(t) \cos \omega_c t}{R} K^+(\omega_c t) \quad I_{C0} = \alpha I_{E0} = I_{CP} \alpha_0(\varphi) = \frac{\alpha Gb(t)}{\pi} (\sin \varphi - \varphi \cos \varphi)$$

$$u_o = \frac{\alpha G R_0}{\pi} b(t) \quad x = \frac{U_T}{b(t)} < 1, \text{在一定条件下, } x \text{很小时: } x \leq \sqrt{0.02} = 0.14 \text{ 或 } b(t)_{\min} \geq 7U_T$$

$$\sin \varphi - \varphi \cos \varphi = \left(1 - \frac{\pi}{2} x + \frac{x^2}{2} + \dots\right) \approx 1 - \frac{\pi}{2} x$$

$$u_{AM} = b(t) \cos \omega_c t$$

$$I_{C0} = \frac{\alpha Gb(t)}{\pi} \left[1 - \frac{\pi}{2} \frac{U_T}{b(t)}\right] = \frac{\alpha Gb(t)}{\pi} - \frac{\alpha G U_T}{2}$$

线性检波

# 6.3 调幅波的解调-检波



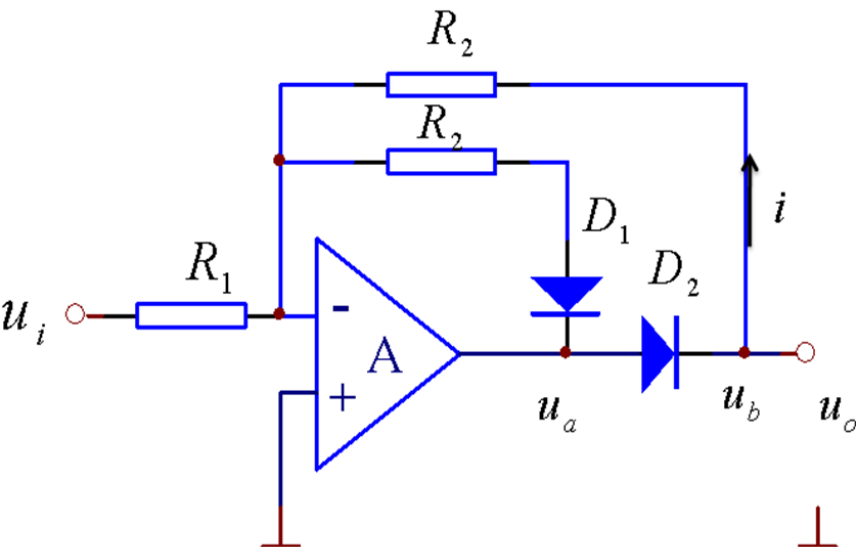
## 6.3.2 理想二极管电路

发射结导通电压的存在将会引起包络检波的非线性失真，若通过加大输入已调电压的幅度来减小非线性失真的程度，将会引起发射结反偏电压过高，容易击穿（发射结反偏电压一般不应超过5V，否则容易击穿）。

例：设  $U_T = 0.2V$ ，调幅指数  $m = 0.8$ ，若  $b(t)_{\min} = U_C(1 - 0.8) = 7U_T = 1.4V \Rightarrow U_C = 7V$

$$\therefore b(t)_{\max} = U_C(1 + m) = 7(1 + 0.8) = 12.6V$$

有可能击穿发射结



通过非线性反馈，实现近乎理想的二极管

A：高增益运算放大器

$R_2$ 、 $D_1$ 支路：防止A在  $u_i$  正半周出现开环状态。

①  $u_i$  正半周， $D_1^+$ ， $D_2^-$ ， $u_o = 0$ ；

②  $u_i$  负半周， $D_2^+$ ， $D_1^-$ ， $u_o = -\frac{R_2}{R_1}u_i$ 。

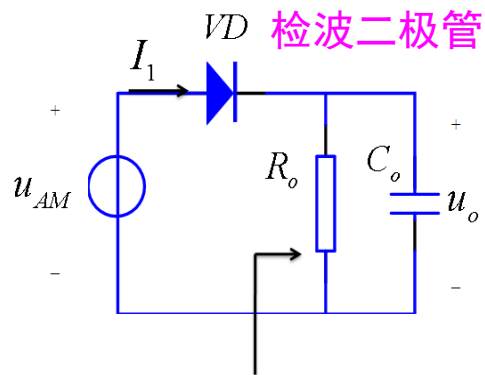
$$\therefore u_o = -\frac{R_2}{R_1}u_i K^-(\omega_c t)$$

利用集成电路技术制成，做在接收机芯片里

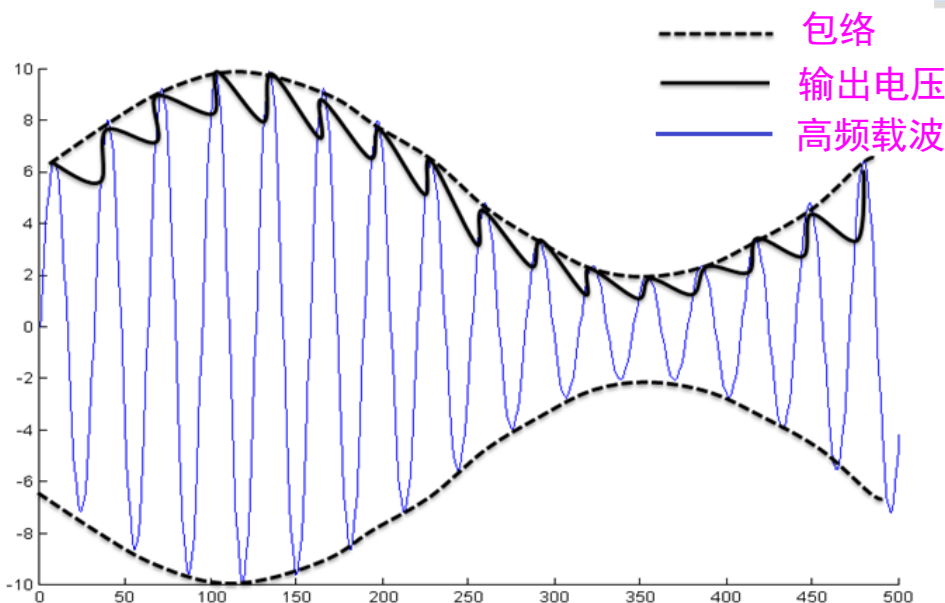
# 6.3 调幅波的解调-检波



## 6.3.3 峰值包络检波



$R_o C_o$  组成低通滤波器  $\tau_{\text{充}} = C_o (R_d // R_o) \approx 0$



### 1. 工作原理

$$\tau_{\text{放}} = R_o C_o \text{ 很大} \quad \tau_{\text{放}} \approx (10^3 \sim 10^4) \tau_{\text{充}}$$

①  $u_{AM}$  正半周: VD 导通,  $u_{AM}$  经很小的导通电阻给  $C_o$  充电, 使其上电压很快达到  $u_{AM}$  的峰值;

② 峰值过后, VD 因反偏而截止,  $C_o$  上电压经  $R_o$  放电,  $u_o$  按指数规律缓慢下降; 直到下一个正峰值到来时, VD 才又导通。

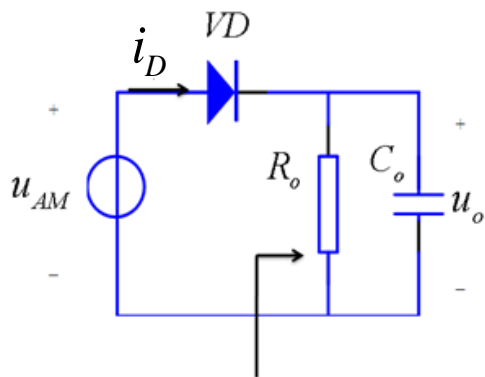
输出电压为  $u_o$ 。有毛刺的音频信号, 带有锯齿状纹波, 既是输出电压, 又是二极管的反偏电压。

# 6.3 调幅波的解调-检波



## 2. 性能分析

### ①假定二极管是理想的



定义参数

$$\left\{ \begin{array}{l} R_i = \frac{U_o}{I_1} \text{—基波阻抗} \\ k = \frac{U_o}{b(t)} \text{—检波增益} \\ \gamma = \sqrt{\sum_{n=1}^{\infty} \frac{U_n^2}{U_o^2}} \approx \frac{U_1}{U_o} \end{array} \right.$$

—纹波系数 =  $\frac{\text{纹波电压}}{\text{输出电压}}$

$$u_{AM} = U_c [1 + ms(t)] \cos \omega_c t = b(t) \cos \omega_c t$$

$$b(t) = U_c [1 + ms(t)] = U_c [1 + m \cos \Omega_m t]$$

$$u_o(t) = b(t)$$

$i_D$  为窄脉冲（通角很小）

$$i_D = I_{D0} + I_{D1} \cos \omega_c t + I_{D2} \cos 2\omega_c t + \dots$$

$$I_{Dn} = 2I_{D0} (n = 1, 2, \dots)$$

低通滤波： $U_o = I_{D0} R_o \Rightarrow I_{D0} = \frac{U_o}{R_o} = \frac{b(t)}{R_o}$

$$R_i = \frac{b(t)}{2I_{D0}} = \frac{1}{2} R_o$$

$$k = 1$$

$$Z(\omega_c) = \frac{R_o}{1 + j\omega_c R_o C_o} \Rightarrow |Z(\omega_c)| = \frac{R_o}{\sqrt{1 + \omega_c^2 R_o^2 C_o^2}} \approx \frac{1}{\omega_c C_o}$$

$$\therefore \gamma = \frac{2I_{D0} \frac{1}{\omega_c C_o}}{I_{D0} R_o} = \frac{2}{\omega_c R_o C_o}$$

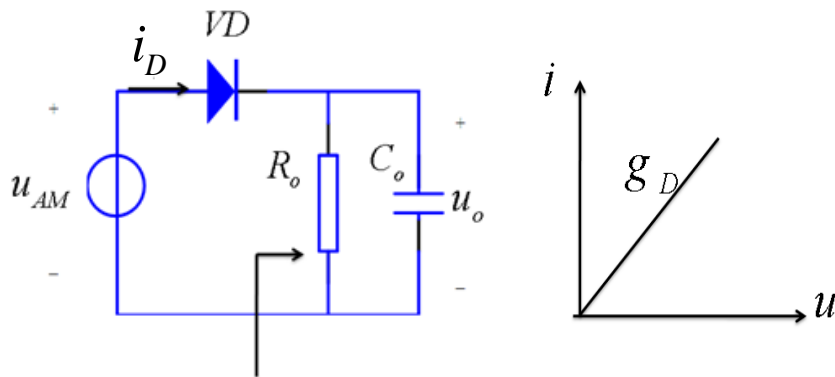
$U_o$  变化紧跟  $b(t)$  变化

$\tau = R_o C_o$  越大，  
纹波越小，锯齿状少。

## 6.3 调幅波的解调-检波



②二极管为折线化模型： $U_T=0$ ，导通电导为 $g_D$



$$u_{AM} = u_o + u_D \quad k < 1$$

$$u_D = b(t) \cos \omega_c t - u_o$$

$$\begin{cases} I_{OP} = g_D b(t) (1 - \cos \varphi) \\ \cos \varphi = \frac{0 - (-u_o)}{b(t)} = \frac{u_o}{b(t)} \Rightarrow \varphi = \cos^{-1} \frac{u_o}{b(t)} \end{cases}$$

$\therefore u_o = I_{D0} R_o = R_o g_D b(t) (1 - \cos \varphi) \alpha_0(\varphi)$  - 低通滤波

$$= R_o g_D b(t) (1 - \cos \varphi) \frac{1}{\pi} \frac{\sin \varphi - \varphi \cos \varphi}{1 - \cos \varphi} = R_o g_D b(t) \frac{\sin \varphi - \varphi \cos \varphi}{\pi}$$

$$\therefore \cos \varphi = \frac{u_o}{b(t)} = k = R_o g_D \frac{\sin \varphi - \varphi \cos \varphi}{\pi} \Rightarrow \text{tg} \varphi - \varphi = \frac{\pi}{R_o g_D}$$

$$\therefore \text{tg} \varphi = \varphi + \frac{1}{3} \varphi^3 + \frac{1}{5} \varphi^5 + \dots$$

$$\therefore \frac{1}{3} \varphi^3 = \frac{\pi}{R_o g_D} \Rightarrow \varphi = \sqrt[3]{\frac{3\pi}{R_o g_D}} \stackrel{\substack{\text{若 } R_o=10K \\ \frac{1}{g_D}=20}}{=} 13^\circ$$

导通角越小，检波增益越高



## 6.3 调幅波的解调-检波



中国科学技术大学  
University of Science and Technology of China

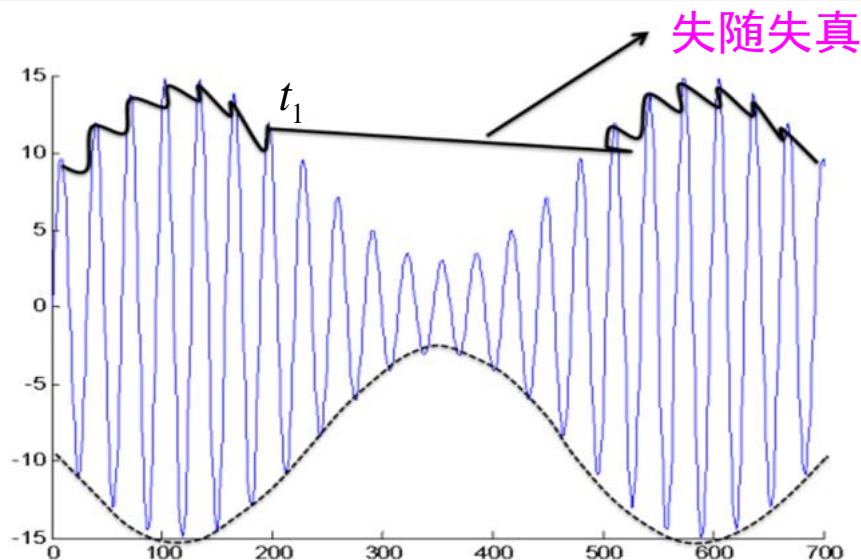
### ③检波失真-失随失真

$$\gamma = \frac{2I_{D0} \frac{1}{\omega_c C_o}}{I_{D0} R_o} = \frac{2}{\omega_c R_o C_o}$$

若为了减小纹波而选用太大  $R_o$ 、 $C_o$ ，或检波器负载电阻太小，会导致输出电压不能完全跟随输入电压的包络变化。

产生原因：

在  $b(t)$  负斜率处，若在某个高频正峰值过后 ( $t_1$ )，若包络的下降速率大于输出电压的下降速率，使得在  $t_1$  后的若干个周期内，检波二极管处于反偏而截止，输出电压就与输入信号的包络无关而按指数下降。



$\left| \frac{db(t)}{dt} \right|$  越大，失真越严重

$$b(t) = U_c [1 + ms(t)] = U_c [1 + m \cos \Omega_m t]$$

$$\Rightarrow \left| \frac{db(t)}{dt} \right| = m U_c \Omega_m \sin \Omega_m t$$

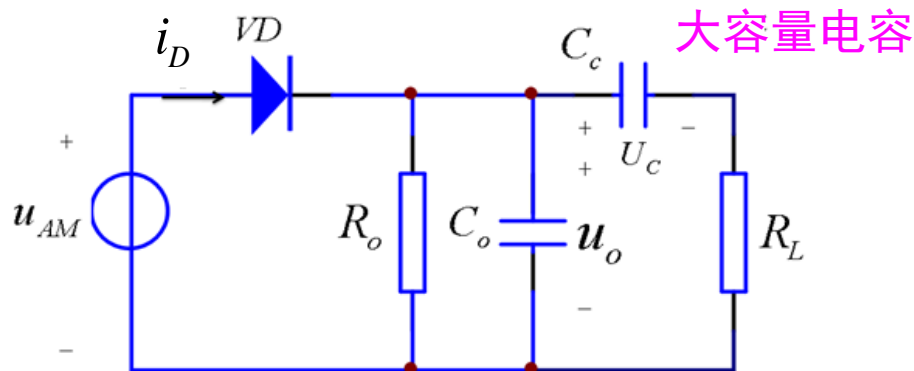
$\therefore m$  越大， $\Omega_m$  越高， $\left| \frac{db(t)}{dt} \right|$  越大，越容易失真

# 6.3 调幅波的解调-检波



克服失随失真的条件（考察图示实际带负载检波电路）

$$b(t) = U_C(1 + m \cos \Omega_m t)$$



在任何时候  
都必须保证

$$\left| \frac{du_o}{dt} \right| > \left| \frac{db(t)}{dt} \right|$$

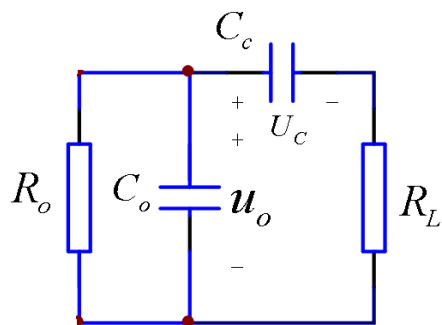
考虑频率  
最大的情况

$$\left| \frac{db(t)}{dt} \right| = m U_C \Omega_m \sin \Omega_m t$$

$$\left| \frac{db(t)}{dt} \right|_{t=t_1} = U_C m \Omega_{\max} \sin \Omega_{\max} t_1$$

$t_1$ 以后的等效电路

$$U_o = U_C(1 + m \cos \Omega_{\max} t_1)$$



①  $C_o$ 放电引起 $U_o$ 变化

$$U_{o1} = U_C(1 + m \cos \Omega_{\max} t_1) e^{-\frac{t-t_1}{\tau}}$$

$$\tau = (R_o // R_L) C_o$$

②  $C_c$ 放电给 $C_o$ 反向充电引起 $U_o$ 变化

$$U_{o2} = U_C \frac{R_o}{R_o + R_L} (1 - e^{-\frac{t-t_1}{\tau}})$$

## 6.3 调幅波的解调-检波



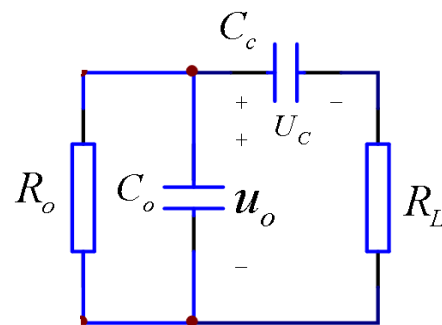
$$\therefore U_o = U_{o1} + U_{o2} = U_C (1 + m \cos \Omega_{\max} t_1) e^{-\frac{t-t_1}{\tau}} + U_C \frac{R_o}{R_o + R_L} (1 - e^{-\frac{t-t_1}{\tau}})$$

$$\left. \frac{dU_o}{dt} \right|_{t=t_1} = -\frac{U_C (1 + m \cos \Omega_{\max} t_1)}{\tau} + U_C \frac{R_o}{R_o + R_L} \frac{1}{\tau}$$

$$= -U_C \left( 1 + m \cos \Omega_{\max} t_1 - \frac{R_o}{R_o + R_L} \right) \frac{1}{\tau}$$

$$= -U_C \left( \frac{R_L}{R_o + R_L} + m \cos \Omega_{\max} t_1 \right) / \tau$$

$$= -U_C (k + m \cos \Omega_{\max} t_1) / \tau$$



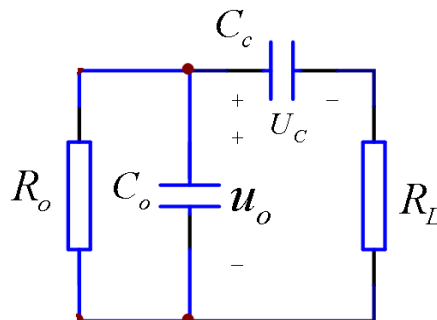
$$k = \frac{R_o // R_L}{R_o} = \frac{R_L}{R_o + R_L} \quad \text{—交流负载与直流负载之比}$$

# 6.3 调幅波的解调-检波



为保证不出现失随失真，需满足：

$$\left| \frac{du_o}{dt} \right| > \left| \frac{db(t)}{dt} \right|$$



克服失随失真的条件

$$U_C (k + m \cos \Omega_{\max} t_1) / \tau \geq U_C m \Omega_{\max} \sin \Omega_{\max} t_1$$

$$\Rightarrow (k + m \cos \Omega_{\max} t_1) / \tau \geq m \Omega_{\max} \sin \Omega_{\max} t_1$$

$$\Rightarrow \frac{k}{\tau} + \frac{m}{\tau} \cos \theta \geq m \Omega_{\max} \sin \theta \quad \theta = \Omega_{\max} t_1$$

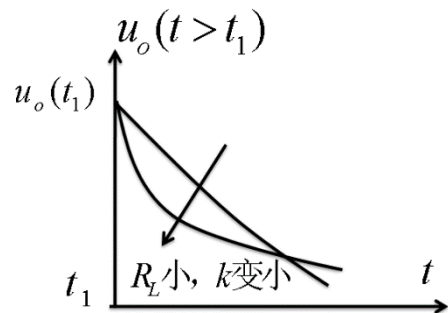
$$\Rightarrow k + m \cos \theta - m \tau \Omega_{\max} \sin \theta \geq 0$$

$$\Rightarrow k + m \sqrt{1 + (\Omega_{\max} \tau)^2} \cos(\theta + \varphi) > 0$$

$$\varphi = \arctg \Omega_{\max} \tau$$

当  $k - m \sqrt{1 + (\Omega_{\max} \tau)^2} > 0$  时对所有都成立

此时有：  $m \leq \frac{k}{\sqrt{1 + [\Omega_{\max} (R_o // R_L) C_o]^2}}$

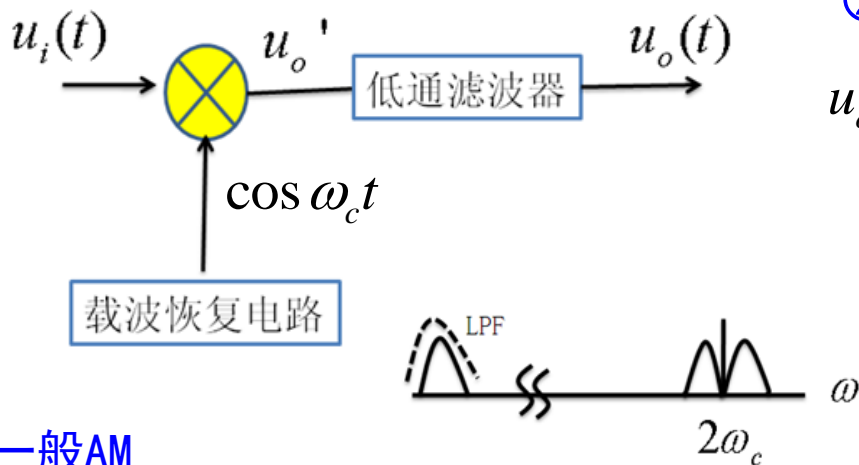


# 6.3 调幅波的解调-检波



## 6.3.4 同步检波

同步检波的前提是接收机中本地载波恢复电路恢复出与发射端同频、同相的载波，有叠加型和乘积型（采用较多）两种。



### ①一般AM

$$\begin{aligned} u_o' &= U_o [1 + ms(t)] \cos \omega_c t \cos \omega_c t \\ &= b(t) \frac{1 + \cos 2\omega_c t}{2} = \frac{1}{2} b(t) + \frac{1}{2} b(t) \cos 2\omega_c t \\ \therefore u_o(t) &= \frac{1}{2} b(t) \end{aligned}$$

### ②SSB

$$\begin{aligned} u_o' &= [s(t) \cos \theta - x(t) \sin \theta] \cos \theta \quad \theta = \omega_c t \\ &= \frac{s(t) + s(t) \cos 2\theta}{2} - \frac{x(t)}{2} \sin 2\theta \\ \therefore u_o &= \frac{1}{2} s(t) \end{aligned}$$

### ③DSB

$$\begin{aligned} u_o' &= s(t) \cos \theta \cos \theta = \frac{1}{2} s(t) + \frac{1}{2} s(t) \cos 2\theta \\ \therefore u_o &= \frac{1}{2} s(t) \end{aligned}$$

## 6.3 调幅波的解调-检波



同步检波的先决条件：本地载波同频、同相恢复。

### 1. 同相必要性

$$s(t) \overset{\text{恢复}}{\cos \omega_c t} \rightarrow \cos(\omega_c t + \varphi)$$

$$\begin{aligned} u_o' &= s(t) \cos \omega_c t \cos(\omega_c t + \varphi) = \frac{1}{2} s(t) \cos \varphi + \frac{1}{2} s(t) \cos(2\omega_c t + \varphi) \\ \Rightarrow u_o &= \frac{1}{2} s(t) \cos \varphi \end{aligned}$$

不同相会引起检波增益下降，当  $\varphi = 90^\circ$  时， $u_o = 0$ ，检波失败。

### 2. 同频必要性

$$s(t) \overset{\text{恢复}}{\cos \omega_c t} \rightarrow \cos(\omega_c + \Delta)t$$

$$\begin{aligned} u_o' &= s(t) \cos \omega_c t \cos(\omega_c + \Delta)t = \frac{1}{2} s(t) \cos \Delta t + \frac{1}{2} s(t) \cos(2\omega_c + \Delta)t \\ \Rightarrow u_o &= \frac{1}{2} s(t) \cos \Delta t \end{aligned}$$

不同频时，输出出现差拍，即听到声音的强弱是周期性变化的，严重影响信息的可懂度。

对声音信号而言，可允许不同相，但不允许不同频，对其它一些场合，则都不允许，例如电视图像接收恢复。

## 6.3 调幅波的解调-检波



中国科学技术大学  
University of Science and Technology of China

- 作业：6.14(1)，6.16